Моделирование "из первых принципов" молекулярных переключателей на суперкомпьютерах.

Лекция 9 факультет ВМК МГУ профессор А.М.Попов

Цели проекта.

- Нанотехнологии. Суперкомпьютерное моделирование как часть технологического процесса.
- Разработка программ для моделирования молекулярных переключателей "из первых принципов" для задач наноэлектроники. Расчет новых молекулярных переключателей, нанопамяти, транспортных процессов в молекулярных наноструктурах.
- Разработка многомасштабной самосогласованной модели на основе квантовой молекулярной динамики Эрнфеста. Нелокальные эффекты переключения. Влияние подложки.
- Эффективность суперкомпьютера.
- Анализ взаимосвязей между структурой параллельного алгоритма, требованиями к памяти и архитектурами многопроцессорной вычислительной системы с общей и распределенной памятью.
- Создание параллельной системы визуализации результатов научных исследований в реальном времени на Blue Gene/P МГУ.

Молекулярные переключатели.

- Производительность компьютера пропорциональна количеству транзисторов на единице площади интегральной схемы. N/S. Сейчас N~ 10^9 это предел.
- Толщина изолирующего слоя оксида кремния между затвором и проводящим слоем критический элемент. Предел ~ 2мн. Меньшие размеры невозможны на базе стандартной техники фотолитографии. Необходимы принципиально новые технологии.
- Актуальность технологических исследований проводимых корпорациями, создающими суперкомпьютеры (IBM) обусловлена физическим пределом кремниевых технологий.

• Молекулярные переключатели. Размеры на два порядка меньше кремниевых. Размер транзистора порядка одного нанометра. В миллион раз больше транзисторов. Время отклика уменьшится до фемтосекунд (на шесть порядков) — время протекания элементарной стадии химической реакции.

- Эффективность молекулярного компьютера может оказаться в миллиарды раз выше, чем современного кремниевого.
- Моделирование процессов такой высокой сложности на суперкомпьютерах с массовым параллелизмом способно предсказывать поведение сложных молекулярных наносистем.

Задачи нанотехнологий. Молекулярная электроника.

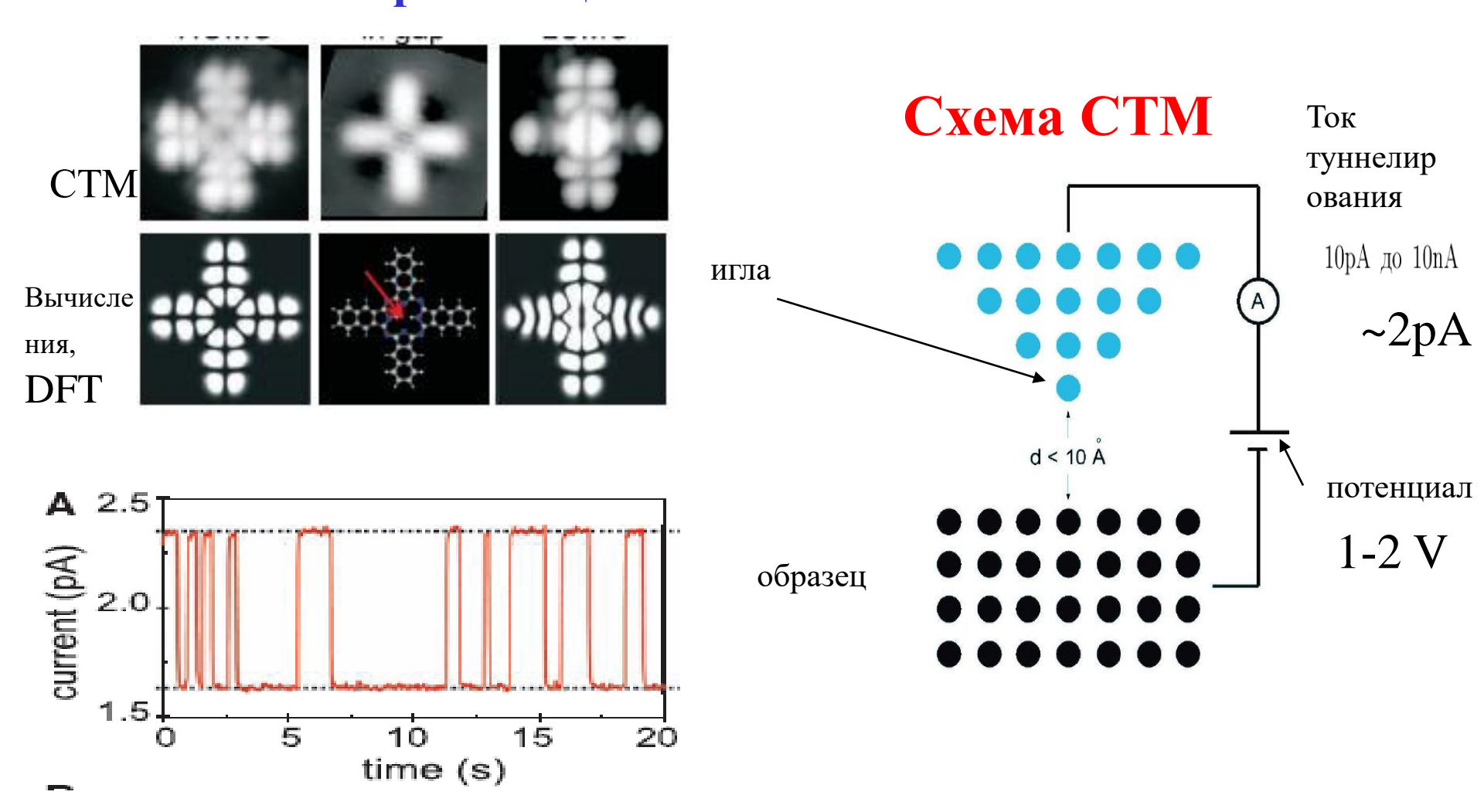
• Построение переключателей на молекулярном уровне.

• Сверхплотная память 100Гб на 1 кв. см **х100**

• Молекулярный компьютер

• Молекулярный ассемблер. Самосборка.

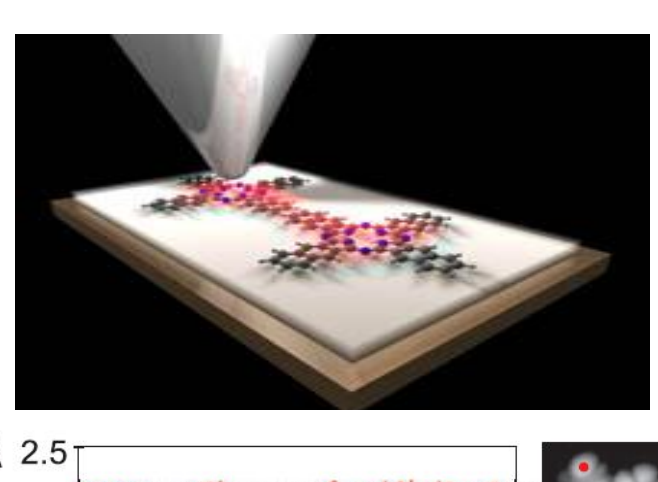
Г.Бенниг, Г.Рорер. (IBM). Нобелевская премия 1986г. Сканирующий туннельный микроскоп — видит атомы. Разрешающая способность — 0.001nm

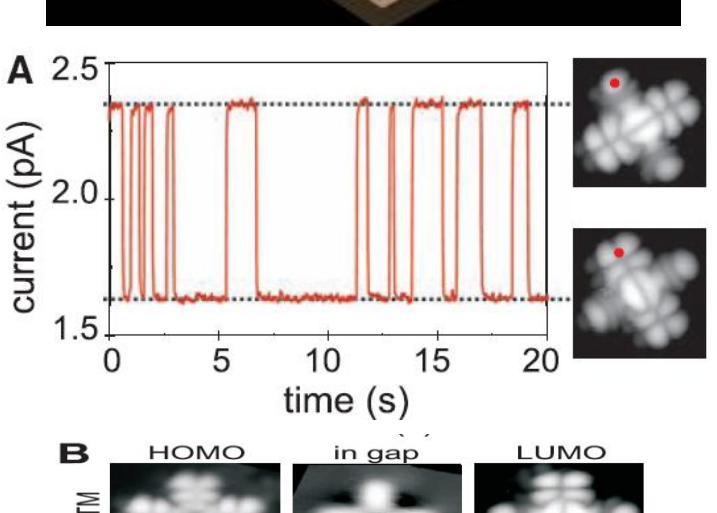


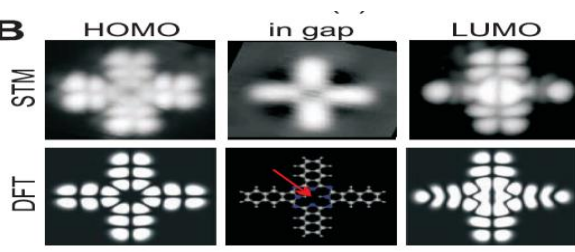
Моделирование нового типа молекулярных переключателей

- Эксперимент в Цюрихе. Инициированная током реакция водородной таутомеризации молекулы нафталоцианина и переключение проводимости. Регистрация тока туннелирования СТМ.
- Новый молекулярный переключатель. Переключение проводимости без изменения формы молекулы в зависимости от положения двух внутренних атомов водорода в центральной области молекулы.
- Реакция эквивалентна повороту молекулы на 90 град. и обуславливает изменение измеряемого тока туннелирования.

Peter Liljeroth, et al. Science 317, 1203 (2007) LUMO нафталоцианина может иметь две ориентации

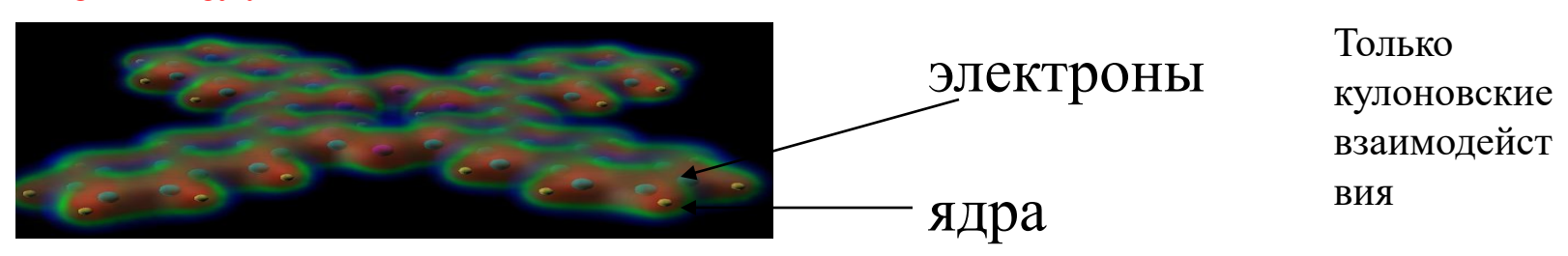






Вычислительные модели "из первых принципов" для наносистем

• Молекулярная динамика из первых принципов FPMD— метод моделирования наносистем. Нет подгоночных параметров. Проблема многих тел.



• Вычислительная проблема. Наномасштаб - мезомасштаб (атом – спл.среда)

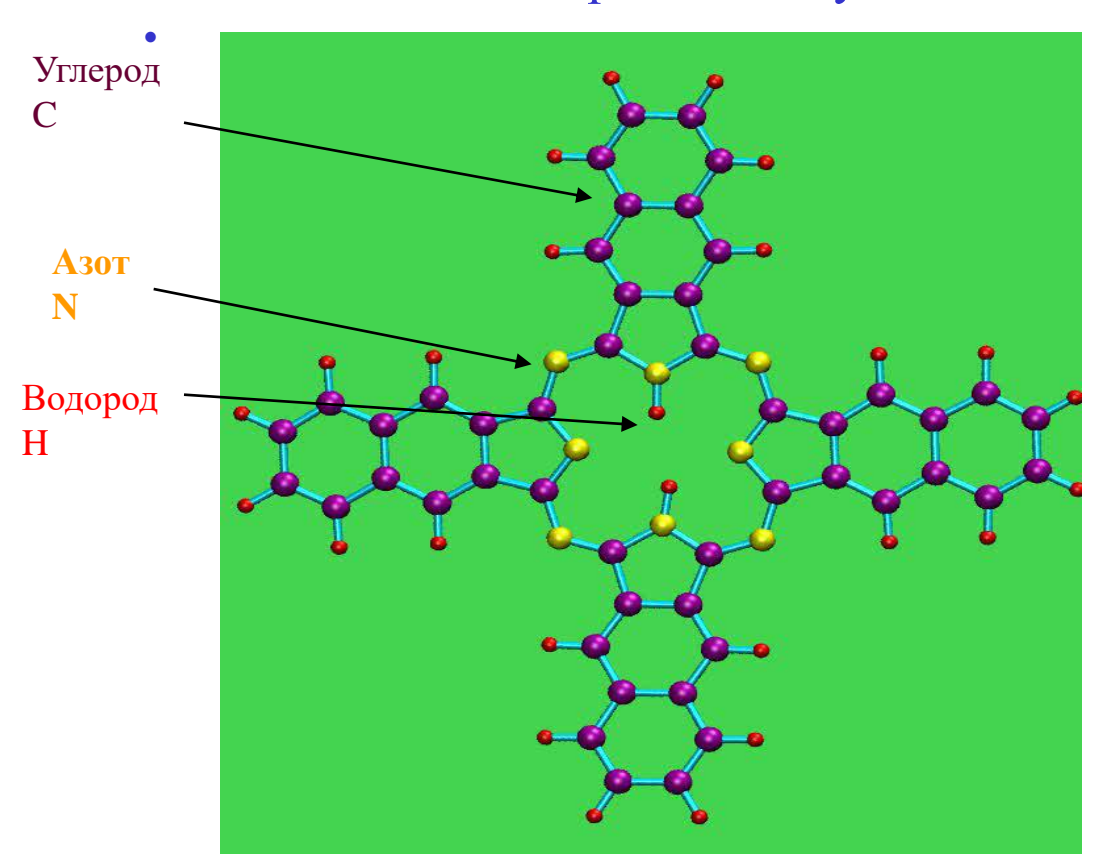
Куб полиэтилена - размером 100nm — 64 10^6 атомов Куб железа - в 1nm — 16000 атомов

- Квантовомеханическое описание электронов и классическое описание движения атомных ядер
- Подход требует использования суперкомпьютеров и эффективных параллельных вычислений для описания больших молекулярных систем ~ 25000 атомов.
- Масштабируемость FPMD кодов.

Вычислительные квантовомеханические модели "из первых принципов" для наносистем

Почему параллельные вычисления принципиально важны?

Пример моделирования молекулярного переключателя. Смена положения атомов водорода в полости молекулы нафталоцианина не меняет геометрию молекулы. Расчет на Blue Gene/P (МГУ)



Пример небольшой системы молекулярного переключателя: 82 атома, 129 орбиталей, 540000 пл. волн для каждой в. функции, шаг = 0.1 fs, сетка 320x320x192

Время вычислений

512 процессоров BG/P – 20 часов

Однопроцессорный компьютер – 1 год!!

Алгоритмы FPMD

• Классическая МД для ядер

$$M_I \ddot{\mathbf{R}}_I(t) = -\frac{\partial E^{(0)}(\{\psi_n^{(0)}\}, \{\mathbf{R}_I\})}{\partial \mathbf{R}_I}$$

• Расчет электронной структуры. Уравнение Шредингера для основного состояния

$$H_e[\{\psi_n^{(0)}\}, \{\mathbf{R}_I\}]\psi^{(0)} = E^{(0)}\psi^{(0)}$$

Уравнения СРМО. Вычисления на ВG/Р в МГУ

$$M_I \ddot{\mathbf{R}}_I(t) = -\frac{\partial}{\partial \mathbf{R}_I} E_{KS}[\{\psi_n\}, \{\mathbf{R}_I\}]$$

$$\mu_n \ddot{\psi_n}(t) = -\frac{\delta}{\delta {\psi_n}^{\star}} E_{KS}[\{\psi_n\}, \{\mathbf{R}_I\}] + \sum_{n'} \Lambda_{nn'} \psi_{n'}$$

НОМО орбиталь

$$\rho(\mathbf{r}) = \sum_{n}^{N_e} |\psi_n(\mathbf{r})|^2$$

ядра

http://www.zurich.ibm.com/deepcomputing

Расчет электронной структуры. **DFT**.

• Уравнения Кона-Шэма. Нелинейная задача на собственные значения.

$$(-\frac{1}{2}\Delta + U_{eff}(\rho, \mathbf{r}))\psi_n(\mathbf{r}) = \epsilon_n \psi_n(\mathbf{r})$$

• Электронная плотность

$$\rho(\mathbf{r}) = \sum_{n=1}^{N_e} |\psi_n(\mathbf{r})|^2$$

• Эффективный потенциал

$$U_{eff}(\mathbf{r}) = U_{ion}(\mathbf{r}) + \int \frac{\rho(\mathbf{s})}{|\mathbf{r} - \mathbf{s}|} d\mathbf{s} + U_{XC}(\rho \mathbf{r}) + U_I$$

Координационная переменная реакции изомеризации.

$$s_1(H_1,H_2,N_1,N_2) = \frac{1}{2} \left\{ \frac{1 - (\frac{R_{H_1N_1}}{R_0})^6}{1 - (\frac{R_{H_1N_1}}{R_0})^{12}} + \frac{1 - (\frac{R_{H_1N_2}}{R_0})^6}{1 - (\frac{R_{H_1N_2}}{R_0})^{12}} + \frac{1 - (\frac{R_{H_2N_1}}{R_0})^6}{1 - (\frac{R_{H_2N_1}}{R_0})^{12}} + \frac{1 - (\frac{R_{H_2N_1}}{R_0})^6}{1 - (\frac{R_{H_2N_2}}{R_0})^{12}} \right\}$$

 $s_2 = s_1(H_1, H_2, N_1, N_2) - s_1(H_1, H_2, N_3, N_4)$

 $R_{H_iN_j}$ -расстояния между і-ым атомом водорода ${\bf H}$ и ј-ым атомом азота ${\bf N}$

$$R_0 = 1.05 A$$

Путь химической реакции в терминах координационных переменных

Внутренняя координата реакции — наикратчайший путь на поверхности потенциальной энергии, который соединяет реактант и продукт.

Свободная энергия Гиббса вдоль координационной переменной. Метод Метадинамики.

Метадинамика – метод вычисления поверхности свободной энергии вдоль коорд. переменной (ых) s(t) (длин связей, торсионных углов) связанной с коллективной переменной S(t) ядер.

Свободная энергия
$$F(\mathbf{s}) = -k_B T ln[P(\mathbf{s})]$$

-константа Больцмана, Т- температура, Р- функция -распределения

$$P(s) = \frac{1}{Z} \int d\mathbf{r} \cdot e^{-\frac{U(\mathbf{r})}{k_B T}} \delta(s(\mathbf{r}) - s)$$

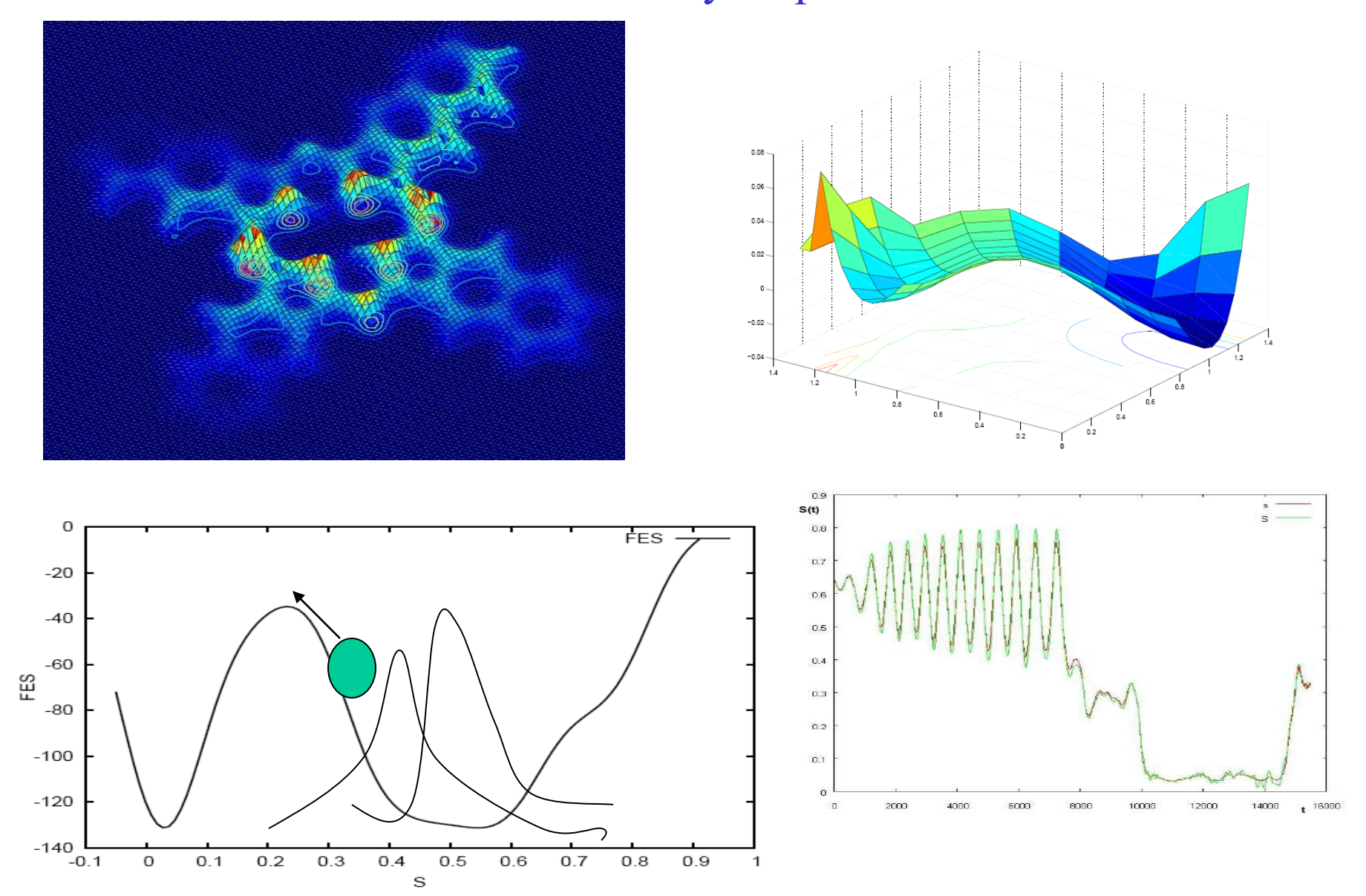
Искусственый потенциал V(s,t) добавляется в систему

$$V(\mathbf{s}, t) = -\sum_{t_i < t} H \cdot exp[-\frac{(\mathbf{s}(t) - s^i)^2}{2W^2}]$$

Потенциальные холмы добавляются в зависящий от истории потенциал V(s,t) с

$$\tau_{MTD} >> \tau_{MD}$$

Параллельная метадинамика для моделирования барьера переключения. Добавление гауссианов для вычисления FES. $512 \longrightarrow 2048$ ускорение = 4.



Код CPMD. Вычисления на BG/P в МГУ. Профиль свободной энергии вдоль координационной переменной. Метод метадинамики. Многократные случайные блуждатели.

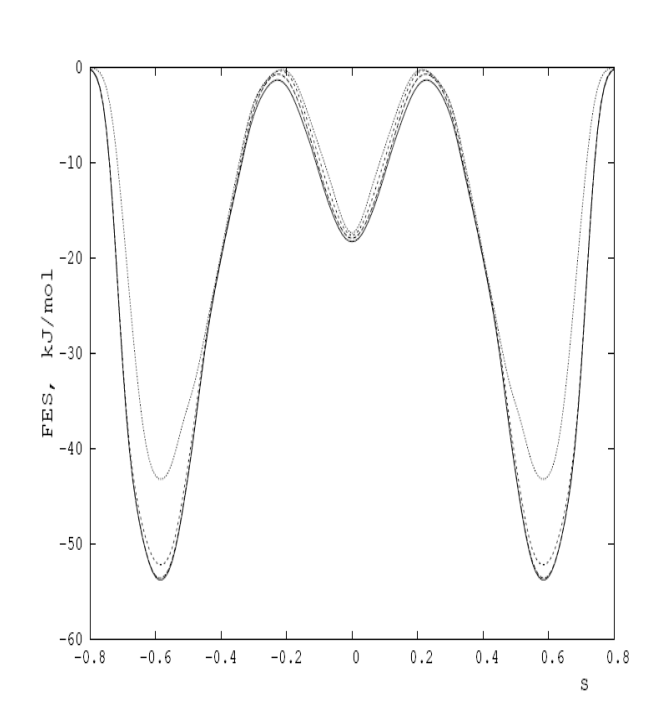
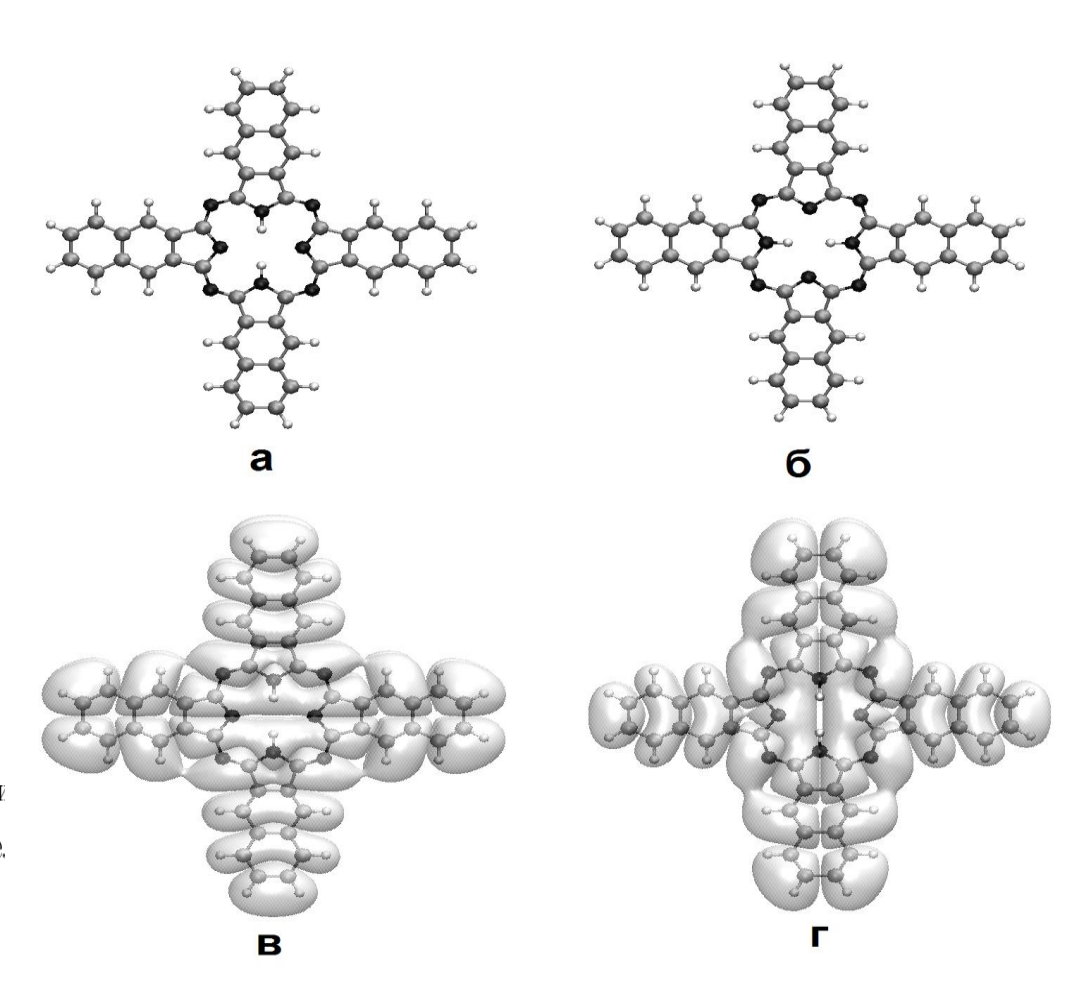


Рис. 2: Вычисленный профиль поверхность свободной энергии вдоль коорди переменной "s". Сходимость достигнута в результате четырех последовате. четов с параметрами : 1) $H=3k_BT$; $\Delta s=0.03$ 2) $H=1.5k_BT$;3) $H=H=0.375k_BT$

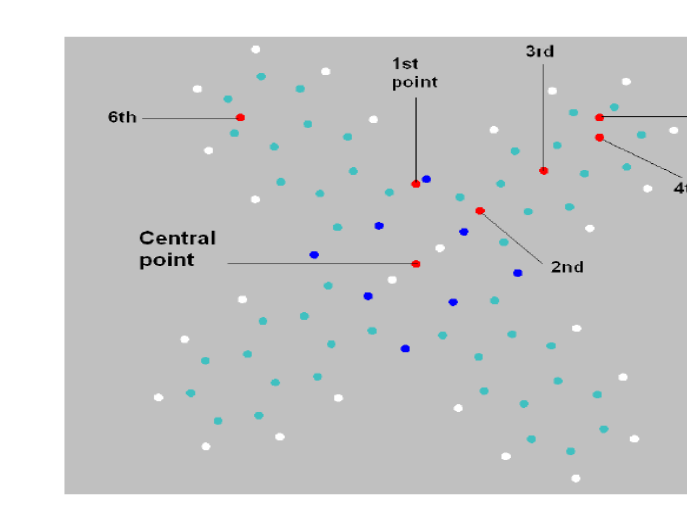


Разработана многомасштабная модель молекулярного переключения. Нелокальность. FES из CPMD. Переключения на основе возбужденных орбиталей из МД Эрнфеста.

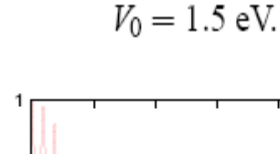
$$\Psi(\mathbf{r}, \mathbf{R}, t) = \sum_{m} c_m(t) \psi_m(\mathbf{r}, \mathbf{R})$$
 $\mathbf{R} \longrightarrow \mathbf{S}$

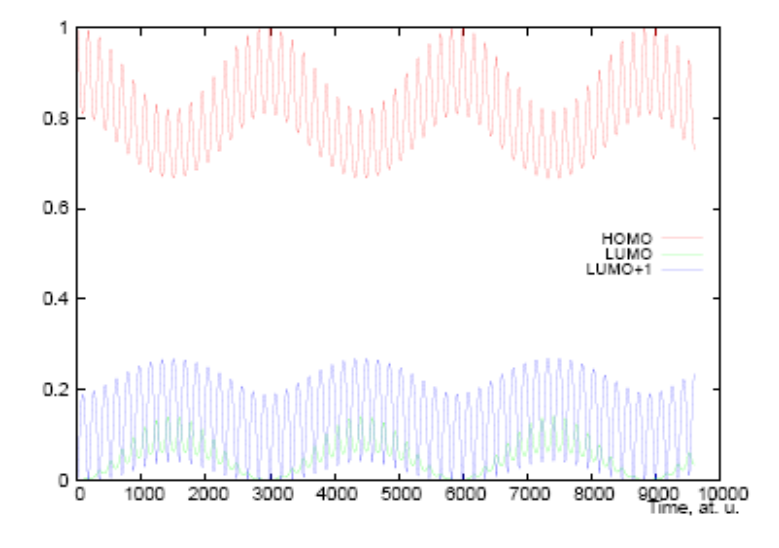
$$V_{mk}^{ext} = <\psi_m |V^{ext}|\psi_k>$$

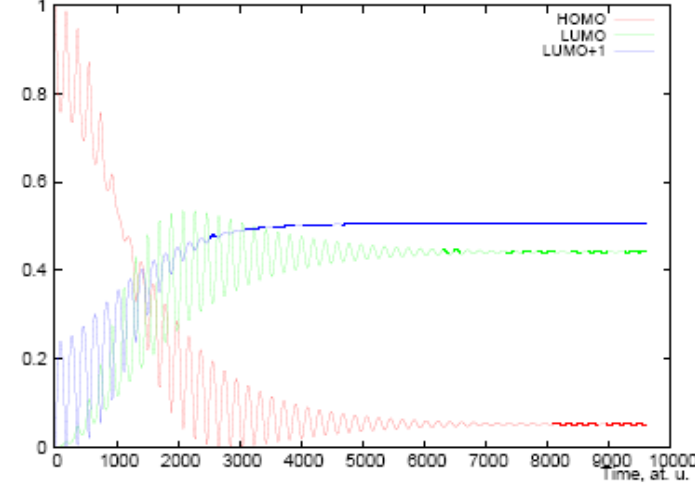
$$\begin{split} \mu \frac{d^2s}{dt^2} &= -\frac{\partial U_F}{\partial s} - \sum_{m > m_0} |c_m|^2 \frac{\partial E_m}{\partial s}(s) - \sum_{m > m_0} \sum_{k \neq m} c_m(t) c_k(t) (E_m - E_k) d_{mk}(s) \\ i \frac{dc_m(t)}{dt} &= c_m(t) E_m(s) - i \sum_k c_k(t) \frac{ds}{dt} d_{mk}(s) + \sum_k V_{mk}^{ext} c_k, \end{split}$$

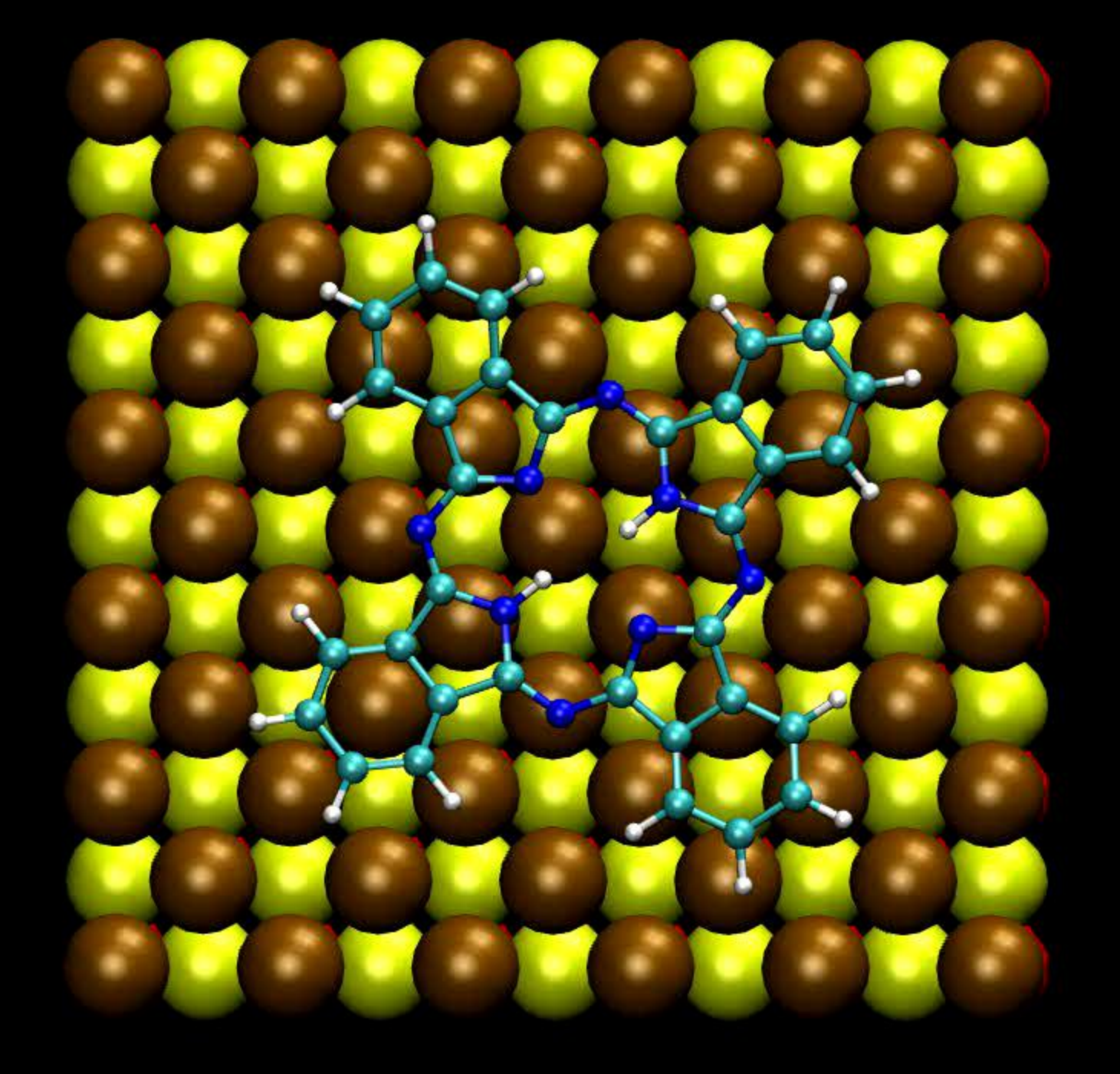


$$V_0 = 1.4 \text{ eV},$$









Расчет электронной структуры. **DFT**.

Основная вычислительная сложность.

Итерации по плотности электронов. Вычислительная сложность $\sim N^3$, N- электронов.

• Уравнения Кона-Шэма. Нелинейная задача на собственные значения.

$$(-\frac{1}{2}\Delta + U_{eff}(\rho, \mathbf{r}))\psi_n(\mathbf{r}) = \epsilon_n \psi_n(\mathbf{r})$$

• Электронная плотность

$$\rho(\mathbf{r}) = \sum_{n=1}^{N_e} |\psi_n(\mathbf{r})|^2$$

• Эффективный потенциал

$$U_{eff}(\mathbf{r}) = U_{ion}(\mathbf{r}) + \int \frac{\rho(\mathbf{s})}{|\mathbf{r} - \mathbf{s}|} d\mathbf{s} + U_{XC}(\rho \mathbf{r}) + U_{I}$$

$$\psi_n(\mathbf{r}) = \frac{1}{\sqrt{\Omega}} \sum_{\mathbf{K}} c_{n,\mathbf{K}} e^{i\mathbf{K}\mathbf{r}}$$

Прямое 3D FFT

$$c_{n,\mathbf{K}} \to \mathbf{C}$$

$$\hat{H}\mathbf{C} = \epsilon \mathbf{C}$$

Обратное 3D FFT

$$U_{eff}(\rho, \mathbf{r})$$

Параллельные стратегии. Несколько уровней распараллеливания

• **Крупноблочное распараллеливание** на распределенной памяти **MPI** – распределение коэффициентов волновых функций для всех электронных состояний на все процессоры.

Распределение данных минимизирует число передач с поддержанием загрузки в обоих пространствах.

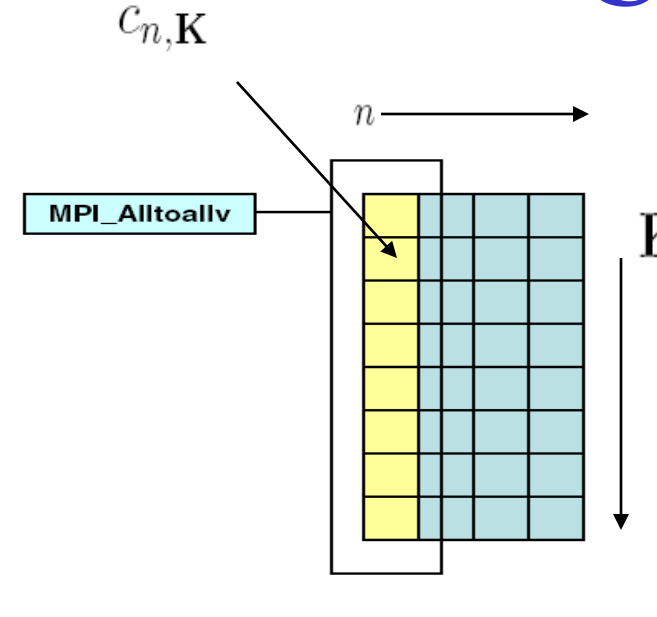
- **OpenMP** распараллеливание с общей памятью **на узле**. Длинные циклы.
- Taskgroups группы процессоров. Процессоры организованы как двумерная сетка. Иерархическая параллелизация. Схема требует в два раза меньше коммуникаций, чем обычная схема. Процессорные группы могут быть оптимально распределены по тору.
- **Методы копирования**. Интегралы по траекториям в молекулярной динамике. Квантовые ядра. Многомерная метадинамика.

Блочное распределение коэффициентов Фурье волновых функций

- •Блочное распределение коэффициентов Фурье волновых функций Cnk либо по орбитальному индексу "n" либо по индексу вектора обратной решетки "k"
- •По "n" вычисление Фурье- преобразования волновой функции на одном узле. Предел по размеру ячейки моделирования и размеру набора базисных функций из-за памяти на узел.
- •По "k" распределения базисного набора плоских волн. Условия для поддержки баланса загрузки. Усложнение выполнения 3d FFT. Коммуникации каждый с каждым.
- •Прямая декомпозиция в реальном пространстве между процессорами (декомпозиция по слоям). Число процессоров не должно превышать наибольшего размера сетки (100-200) для того чтобы обеспечить баланс загрузки.
- •Qbox опирается на библиотеки BLAS и ScaLAPACK
- •CPMD смешанная схема распараллеливания

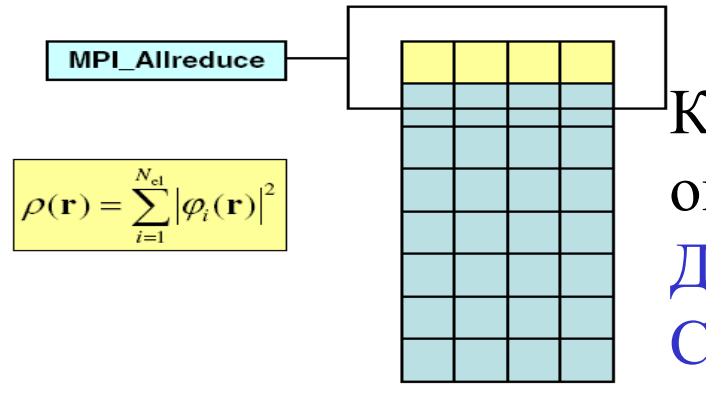
Стратегии

MPI коммуникации в BGP



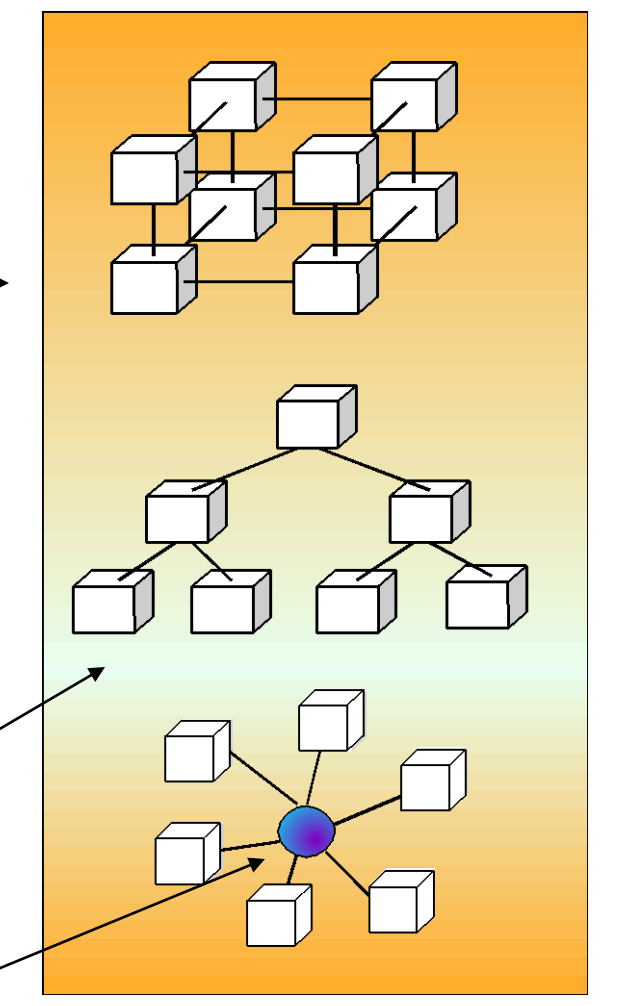
K узел-узел 3D тор —→

$$\psi_n(\mathbf{r}) = \frac{1}{\sqrt{\Omega}} \sum_{\mathbf{K}} c_{n,\mathbf{K}} e^{i\mathbf{K}\mathbf{r}}$$

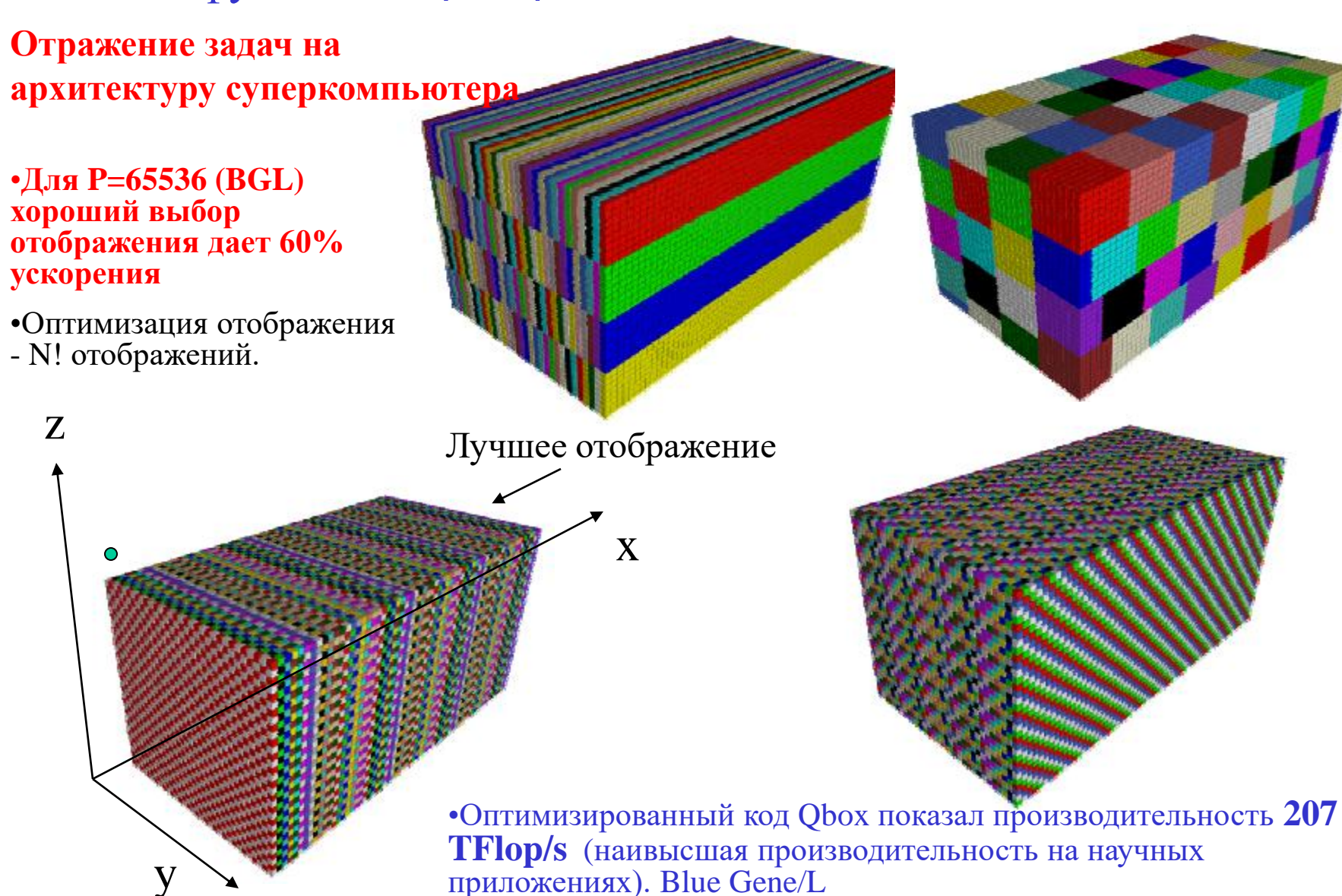


Коллективные операции

Дерево Синхронизация.



Блочное распределение коэффициентов Фурье волновых функций. Пространственная декомпозиция.



Производительность кода квантовой молекулярной

динамики на Blue Gene/P

- Вычисления на супер-ЭВМ IBM Blue Gene/P. Компьютер на факультете ВМК МГУ имеет 2048 процессорных узлов, каждый узел 4 ядра, пик -27,8 терафлопс.
- 82 атома –20 часов 512 узлов, 130 атмов –97 часов 512 узлов, 178 атомов –94 часа 1024 узла.
- 100 атомов масштабируются до 2048 узлов с 70% эффективности и длительностью производственного цикла ~ 600рs/неделя (МГУ)

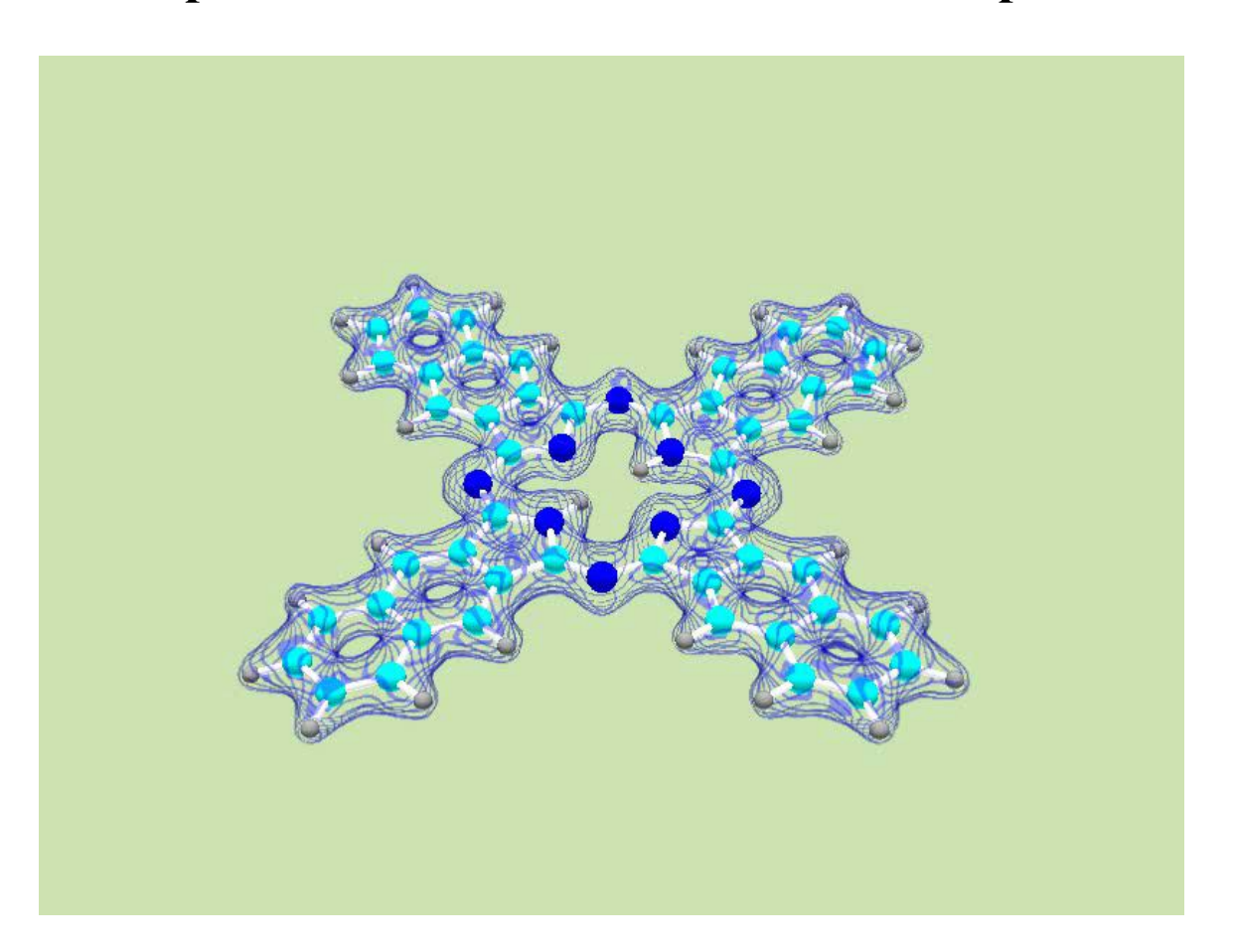
Масштабирование на петафлопные системы.

- Наибольшая система в настоящий момент 20000 атомов на 16 стойках.
- **СРМD** масштабируется до 128000 процессоров.
- Петафлопные компьютеры ~ 1000,000! процессоров. Необходима переделка кодов.
- Использование многоядерных узлов (тенденция в увеличении числа ядер)
- Производительность ввода-вывода узкое место.
- Производительность параллельной файловой системы. Алгоритмы сжатия данных.
- Развитие линейно-масштабируемых мотодов O(N)
- Надежность компьютеров, сохранение работы программы при отказе узлов.

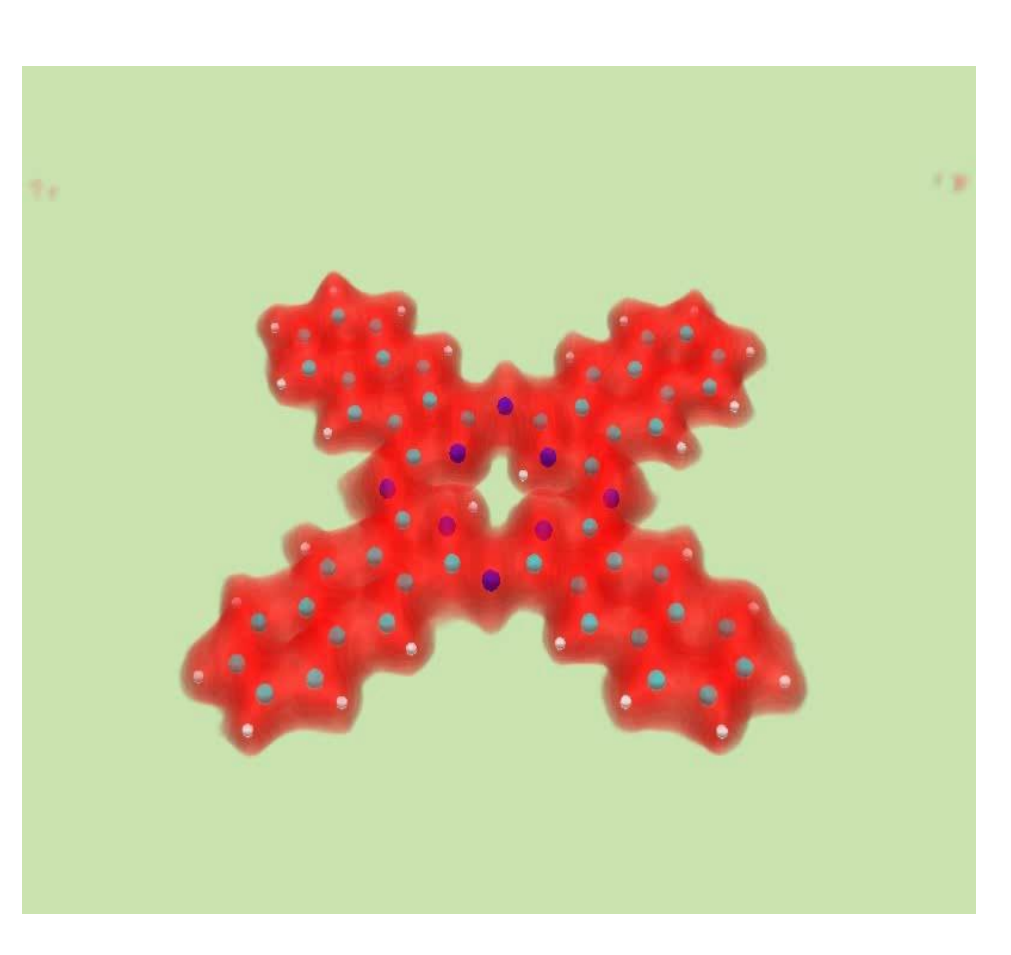
Создана параллельная система визуализации результатов научных исследований в реальном времени на Blue Gene/P МГУ.

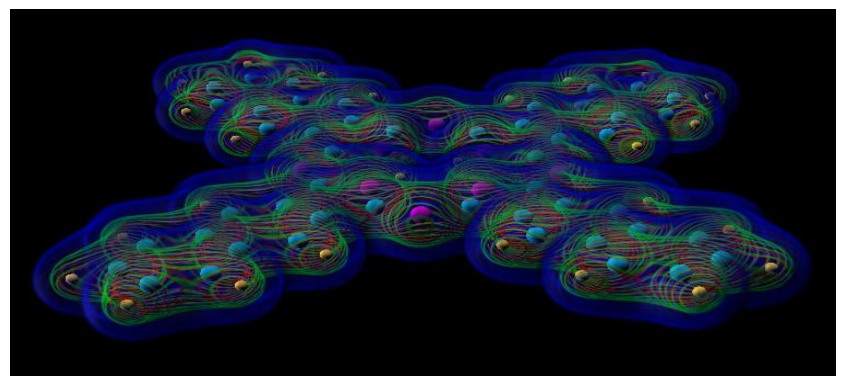
Система предоставляет возможность выполнения визуализации в процессе работы параллельных прикладных программ.

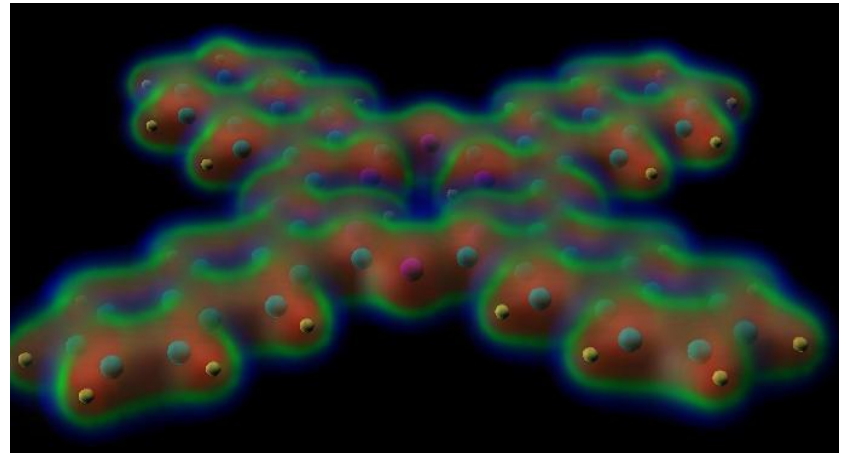
Система поддерживает работу с данными большого объема и обеспечивает построение высококачественных изображений.



Параллельная визуализация в реальном времени на BG/P (МГУ)







Результаты

- 1. Наноэлектроника. Представлено суперкомпьютерное моделирование из первых принципов молекулярного переключения на основе реакции изомеризации. Предложена многомасштабная модель молекулярного переключения. Сравнение с экспериментом.
- 2. Эффективность суперкомпьютинга. Создана параллельная система визуализации результатов научных исследований на ВGР. Система поддерживает работу с данными большого объема и обеспечивает построение высококачественных изображений.
- 3. Разработан метод и инструментальная система для настройки эффективности параллельных программ, построенных на основе параллельных математических библиотек.